



بیست و هفتمین کنفرانس اپتیک و
فوتوونیک ایران و سیزدهمین کنفرانس
مهندسی و فناوری فوتونیک ایران،
دانشگاه سیستان و بلوچستان،
 Zahedan, Iran.
 ۱۶-۱۴ بهمن ۱۳۹۹



کد مقاله : A-۱۰-۲۴۹۴-۱

تابش تراهرتز توسط زنش باریکه‌های لیزر گاوسی و پلاسمای نانو خوش

ربابه نعمتی سیاه‌مزگی، ساعد جعفری

دانشکده فیزیک دانشگاه گیلان، rnemati@phd.guilan.ac.ir, SJafari@guilan.ac.ir

چکیده - در این مقاله تولید تابش تراهرتز (THz) توسط زنش دوباریکه‌ی لیزر فوق گاوسی با فرکانس‌های ω_1 و ω_2 در یک محیط پلاسمای نانو خوش‌بene لحاظ تئوری بررسی شده است. میدان الکتریکی پرتوهای لیزر با نانوساختار ارتباط برهمکنش می‌کند، منجر به یونیزه شدن اتمهای خوش و تولید نانوپلاسمای می‌شود. برهم کنش پرتوهای لیزر با ابرهای الکترونیکی نانوپلاسمای نیروپیاندرماتیو ایجاد می‌کند که منجر به ایجاد جریان الکترون ماکروسکوپی در فرکانس زنش می‌شود که می‌تواند تابش THz را ایجاد کند. معادلات موج THz و بازده THz به صورت تحلیلی در محیط پلاسمای نانو خوش استخراج می‌شوند. اثرات چگالی و شعاع نانو خوش‌بene، عرض و شدت پرتوی لیزر و لیزرهای فوق گاوسی بر بازده تابش THz در یک ساطع کننده THz مبتنی بر نانوپلاسمای نانو خوش شده است. نتایج نشان داد که حداکثر دامنه میدان برای تابش THz نزدیک به فرکانس $f \approx 13.57\text{ THz}$ است، یعنی وقتی فرکانس موج زنش به فرکانس‌های موثر پلاسمون نانوپلاسمای نزدیک می‌شود.

کلید واژه- تولید تابش تراهرتز، نانوپلاسمای نانو خوش، کانال انرژی الکترواستاتیکی، بازده تابش تراهرتز.

Terahertz radiation via beating Gaussian laser beams and nanocluster plasma

Robabeh Nemati Siahmazgi, Saed Safari

Department of Physics, University of Guilan, rnemati@phd.guilan.ac.ir, SJafari@guilan.ac.ir

Abstract- In this paper, generation of terahertz (THz) radiation by the beating of two super- Gaussian laser beams in a nanocluster plasma is investigated, theoretically. The electric field of laser beams interact with the nanocluster, leads to the ionization of the cluster atoms, and producing nanoplasma. Interaction of laser beams with the electronic clouds of nanoplasma generates ponderomotive force that leads to the creation of a macroscopic electron current at the beat frequency which can generate THz radiation. The THz wave equations and THz efficiency are analytically derived in nanocluster plasma medium. The effects of the density and radius of nanoclusters, the laser beam width and intensity of super- Gaussian lasers on the THz radiation efficiency has been investigated in a nanoplasma- based THz emitter. The results indicated the maximum value of the field amplitude for THz radiation is the near the frequency of $f \approx 13.57\text{ THz}$, that is, when the beat- wave frequency approaches the effective plasmon frequencies of the nanoplasma.

Keywords: Generation of Terahertz radiation, Nanoplasma, Nanocluster, Electrostatic energy channel, Efficiency of THz radiation.

آید. با استفاده از پتانسیل اثر گذار $\phi_p = (-m/2e)\mathbf{v}_1 \cdot \mathbf{v}_2^*$ ،
ما میتوانیم نیروی اثرگذار حاصل از تعامل لیزر -
نانوپلاسمما به شرح زیر به دست می آید.

$$\mathbf{F}_p^{NL} = \frac{-e^2 E_0^2 \omega_1 \omega_2}{(\omega_1^2 - \frac{\omega_p^2}{3} + i\nu\omega_1)(\omega_2^2 - \frac{\omega_p^2}{3} - i\nu\omega_2)} \quad (2)$$

$$[-2q \frac{y^{q-1}}{a_0^q} \hat{e}_y + ik\hat{e}_z] \exp(-2(\frac{y}{a_0})^q) e^{i(kz - \omega t)} + c.c,$$

بنابراین، سرعت غیرخطی الکترون، که در نتیجه‌ی نیروی اثرگذار است به صورت زیر به دست می آید

$$\mathbf{v}^{NL} = \frac{i\omega \mathbf{F}_p^{NL}}{m(\omega^2 - \frac{\omega_p^2}{3} + i\nu\omega)}, \quad (3)$$

چگالی جریان غیرخطی، که وظیفه تولید تابش THz را بر عهده دارد، با استفاده از $\mathbf{J}^{NL} = -n_a e \mathbf{v}^{NL}/2$ محاسبه می شود. با قرار دادن معادله‌ی (۳) در معادله مربوط به چگالی جریان غیرخطی و با در نظر گرفتن $n_\alpha = 4\pi r_c^3 n_e / 3$ ، چگالی جریان غیرخطی به شرح زیر نوشته می شود

$$\mathbf{J}^{NL} = \frac{in_c r^3 e E_0^2}{12m(\omega^2 - \frac{\omega_p^2}{3} + i\nu\omega)} \frac{\omega_p^2 \omega \omega_1 \omega_2}{(\omega_1^2 - \frac{\omega_p^2}{3} + i\nu\omega_1)(\omega_2^2 - \frac{\omega_p^2}{3} - i\nu\omega_2)} \quad (4)$$

$$[-2q \frac{y^{q-1}}{a_0^q} \hat{e}_y + ik\hat{e}_z] \exp(-2(\frac{y}{a_0})^q) e^{i(kz - \omega t)} + c.c,$$

انتشار امواج تراهرتز را می توان با استفاده از معادلات حاکم

$$\nabla(\nabla \cdot \mathbf{E}) - \nabla^2 \mathbf{E} = \frac{i4\pi\omega}{c^2} \mathbf{J}^{NL} + \frac{\omega^2}{c^2} \epsilon \mathbf{E},$$

آورد. در اینجا گذردهی به دست می شود. مکسول ماده $\epsilon = 1 - \omega_p^2/(\omega^2 + i\nu\omega - \omega_p^2/3)$ نانو خوش ناسما که اینجا می باشد. با فرض تغییرات فاز سریع برای میدان الکتریکی،

مقدمه

در سالهای اخیر، تولید تابش تراهرتز (THz) توسط نانو خوشها، کامپوزیتها و نانولوله به واسطه اندازه‌ی بسیار جمیع و جوهر (ابعاد نانو) و کارآیی منابع تابش THz برای توسعه وسایل نوری و آنتن THz مورد توجه بوده است. تابش‌های تراهرتز دارای کاربردهای بالقوه در ارتباطات بی‌سیم، تصویربرداری پزشکی، طیف‌سنجی، علوم پزشکی، نجوم و غیره است. طیف تابش THz مربوط به ناحیه‌ی بین باند مادون قرمز و امواج مایکروویو از طیف الکترومغناطیسی است [۱-۳].

تابش تراهرتز

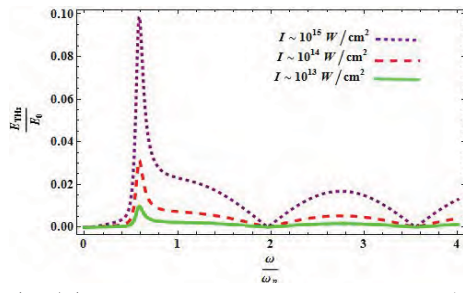
ما یک هدف خوش را با چگالی a_0 و شعاع خوشه‌های اتمی در که تحت تابش دو باریکه‌ی لیزر فوق العاده گاویسی با فرکانس ω_1 و ω_2 و عدد موادر k_1 و k_2 که جهت انتشار آنها z و جهت قطبش آنها در جهت y قرار دارند، یعنی به صورت $\mathbf{E}_j = E_0 \exp(-(\frac{y}{a_0})^q) e^{i(k_j z - \omega_j t)} \hat{e}_y + c.c$ نظر می گیریم. در اینجا a_0 عرض باریکه، $j = 1, 2$ و $q \geq 2$ شاخص باریکه‌ی لیزر فوق گاویسی است.

نیروی یکه بر روی الکترونهای خوشه (یا به عبارتی بر نانو ذرات کروی در خوشها) وارد می شود عبارت است از مقدار جابجایی ابرالکترونی نسبت به یونها، نیروی لورنتس و نیروی برخورد است. بنابراین می توان معادله حرکت اندرکنش ابرالکترونیک الکترون از نانوذره را با میدان الکتریکی پرتولیز را م به صورت زیرنوشت:

$$\frac{d\mathbf{v}_j}{dt} = -\frac{e}{m} \mathbf{E}_j - \frac{\omega_p^2}{3} \mathbf{r}_j - \nu \mathbf{v}_j \quad (1)$$

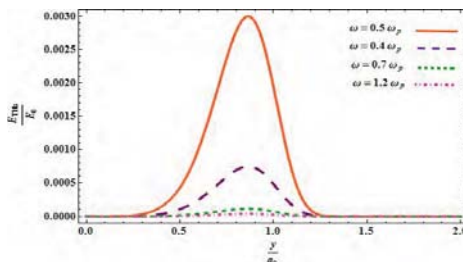
که m ماده، $\omega_p = (4\pi e^2 n_0/m)^{1/2}$ و ν به ترتیب، جرم الکترون، فرکانس پلاسمما، و فرکانس برخورد الکترون و یون است. با حل معادله (۱) نوسانات الکترون \mathbf{r}_j و \mathbf{v}_j به دست می-

های زاویه ای ($\lambda_1 = 9.91\mu m$) و $\omega_1 = 1.9 \times 10^{14} rad/s$ ($\lambda_2 = 10.4\mu m$) و $\omega_2 = 1.8 \times 10^{14} rad/s$ ($\lambda_3 = 10.4\mu m$) را در نظر می گیریم که به ترتیب می توان از لیزرهای گازی CO₂ و لیزر O₂ بدست آورد. شعاع نانو خوش $r_c = 2 \times 10^{-6} cm$ و $n_c = 5 \times 10^{14} cm^{-3}$ ، فرکانس پلاسمای چگالی نانو خوش $\omega_p = 1.5 \times 10^{14} rad/s$ (که متناظر با چگالی پلاسمای الکترون است) و فرکانس برخورد $n = 6.37 \times 10^{28} cm^{-3}$ در نظر گرفته می شوند.



شکل ۱: میدان تابش تراهرتز نرمالیزه برای شدت های مختلف نرمالیزه حسب تابع ایزوفرکانس تراهرتز مالیزه با شدت های مختلف با $q = 2$ و $r_c = 2 \times 10^{-6} cm$ ، $n_c = 5 \times 10^{14} cm^{-3}$.

شکل ۱ تغییرات میدان نرمالیزه تابش THz را بر حسب تابعی از فرکانس THz نرمالیزه برای مقادیر مختلف شدت لیزر نشان می دهد. در این شکل، مشاهده می شود که با افزایش شدت لیزر، میدان نرمال شده تابش THz افزایش می یابد.



شکل ۲: میدان تابش تراهرتز نرمالیزه حسب عرضی از محور Z برای فرکانس های مختلف با $q = 6$ و $\omega = 0.5\omega_p, 0.5\omega_p, 0.7\omega_p, 1.2\omega_p$.

شکل ۲، تغییرات میدان نرمالیزه تابش THz را بر حسب تابعی از فاصله عرضی از محور Z برای فرکانس های مختلف THz نرمال ترسیم می کنیم. واضح است که وقتی فرکانس THz برابر با آن $\omega = 0.5\omega_p$ باشد، نزدیک به

فرض اینکه میدان الکتریکی به شکل یک موج عرضی، با جبهه ای موج تخت بینهایت باشد، پس مولقه y رابطه ای را می توان به صورت زیر به دست آورد

$$[-2ik \frac{dE_{T0y}}{dz} + (k^2 - \frac{\omega^2}{c^2} \epsilon) E_{T0y}] e^{i(kz - \omega t)} = \frac{4i\pi\omega}{c^2} \mathbf{J}^{NL}, \quad (5)$$

و میدان الکتریکی تراهرتز به صورت زیر به دست می آید. و بازده تابش تراهرتز نیر به صورت زیر به دست می آید

$$\begin{aligned} \eta = \frac{W_{THz}}{W_{Beam}} = & \frac{\pi^2 r_c^6 n_c^2 e^2 z^2 q^2}{3m^2 c^4 k^2 a_0^2 2^{3-\frac{1}{q}} ((\omega^2 - \frac{\omega_p^2}{3})^2 + \omega^2 v^2)} \\ & \frac{\omega^4 \omega_p^4 \omega_1^2 \omega_2^2}{((\omega_1^2 - \frac{\omega_p^2}{3})^2 + \omega_1^2 v^2)((\omega_2^2 - \frac{\omega_p^2}{3})^2 + \omega_2^2 v^2)} \frac{\Gamma(2 - \frac{1}{q})}{\Gamma(\frac{1}{q})} \end{aligned} \quad (6)$$

از طرف دیگر با در نظر گرفتن جمله یاولدر معادله ماکسول ($\nabla \cdot \mathbf{E} \neq 0$) معروف به کانال انرژی الکترواستاتیک، می توان معادله را حل کرد. با در نظر گرفتن دیورزانس از دو طرف معادله مربوط به ماکسول، $\mathbf{E} = -\frac{4i\pi}{\omega\epsilon} \mathbf{J}^{NL}$ به دست می آید. میدان الکتریکی تراهرتز را در این حالت به صورت زیر به دست آوریم

$$\begin{aligned} E_{THz} = & \frac{-2\pi\alpha}{k} [\frac{\omega}{c} 2q \frac{y^{q-1}}{a_0^q} + \frac{1}{\omega\epsilon} (2q(q-1)(q-2) \\ & \frac{y^{q-3}}{a_0^q} - 12q^2(q-1) \frac{y^{2q-3}}{a_0^{2q}} + (2q \frac{y^{q-1}}{a_0^q})^3) \exp(-\frac{2y^q}{a_0^q})], \end{aligned} \quad (7)$$

تحلیل عددی

تولید تابش THz را در برهمنکش پرتوهای لیزر با پلاسمای نانوساختار برخوردی به صورت عددی بررسی می کنیم. ما اثرات چگالی و شعاع نانو خوشها، عرض پرتو و شدت کارایی لیزر فوق گاوسی تابش THz را بررسی می کنیم. در این بخش، ما لیزرهای فوق گاوسی با فرکانس

شکل ۴ بازده تولید تابش THz را بر حسب تابعی از فرکانس THz نرمالیزه نشان می‌دهد. علاوه بر این، در شکل ۵، بازده تولید تابش THz را بر حسب تابعی از فرکانس THz نرمالیزه برای شعاع‌های مختلف نانوساختار رسم می‌کنیم. مشخص شده است که با افزایش شعاع نانوساختار، بازده تابش THz افزایش می‌یابد.

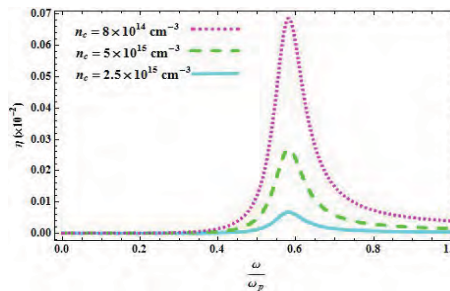
نتیجه‌گیری

در این مقاله، تولید تابش THz حاصل از زنش دو پرتوی لیزر فوق گاووسی در یک نانوپلاسمای برخورده بررسی شده است. وابستگی تولید تابش THz به تراکم و شعاع پلاسمای نانوساختار، شدت و شاخص پرتوهای لیزر گاووسی برای دو مورد بررسی قرار گرفت. مطالعات عددی THz نشان داده‌اند که بهترین وضعیتی که می‌توان تابش THz را بدست آورد، در فرکانس $\omega = \omega_p/3 \approx 0.56\omega_p$ اتفاق می‌افتد. حداکثر دامنه میدان برای تابش THz تولید شده، فرکانس نزدیک به $f \approx 13.57\text{THz}$ است، یعنی وقتی فرکانس موج زنش به فرکانس‌های موثر پلاسمون پلاسمای نانوساختار نزدیک می‌شود، تشدید رخ می‌دهد. علاوه بر این، مطالعات نشان داده است که با افزایش شدت لیزر فوق العاده گوسی در تعامل با نانوذرات با چگالی بالاتر و اندازه بزرگ (شعاع بزرگتر) می‌توان بازده بهتر تابش THz را با فرکانس حدود $\approx 13.57\text{THz}$ به دست آورد.

مراجع

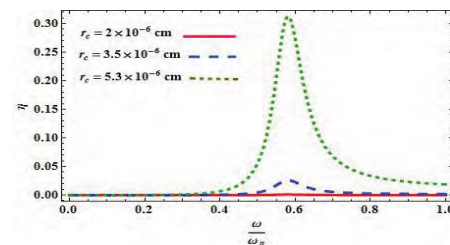
- [1] E. Pickwell and V. P. Wallace, J. Phys. D, **39**, R301-R310, 2006.
- [2] E. Matsubara, M. Nagai, and M. Ashida, J. Opt. Soc. Am. B, **30**, 2013.
- [3] A. V. Balakin, M. S. Dzhidzhoev, V. M. Gordienko, M. N. Esaulkov, I. A. Zhvaniya, K. A. Ivanov, I. A. Kotelnikov, N. A. Kuzechkin, I. A. Ozheredov, V. Y. Panchenko, IEEE Trans. THz Sci. Technol. **7**, 70- 79, 2016.

است، $\omega = \omega_p/\sqrt{3} \approx 0.57\omega_p$ دامنه تابش نرمال THz دارای ماکریزم مقادیر است. در واقع، زمانی که تشدید اتفاق می‌افتد فرکانس موج زنش به فرکانس‌های موثر پلاسمون پلاسمای نانوساختار نزدیک شود، و حداکثر دامنه میدان تابشی THz را بدست می‌آورد.

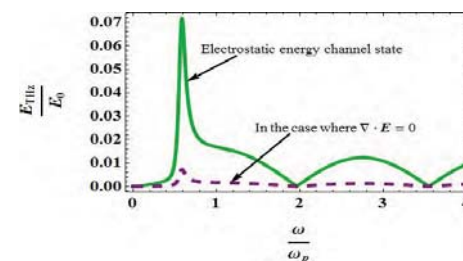


شکل ۳: بازده تابشی اهرتز نرمالیزه بر حسب تابعی از فرکانس اهرتز نرمالیزه برای چگالیهای مختلف خوش.

در شکل ۳، میدان تابشی نرمالیزه THz را به عنوان بر حسب تابعی از فرکانس THz نرمالیزه برای پرتوهای لیزر گاووسی و فوق گاووسی رسم می‌کنیم.



شکل ۴: بازده تابشی اهرتز نرمالیزه بر حسب تابعی از فرکانس اهرتز نرمالیزه برای شعاع‌های مختلف خوش.



شکل ۵: میدان تابشی ایزوفرکانسی اهرتز THz بر حسب تابعی از فرکانس اهرتز THz برای لیزر سوبر گاووسی در $q = 4$ در دو مورد: حالت کانال انرژی الکترونیکی $\nabla \cdot E \neq 0$ و حالت $\nabla \cdot E = 0$ با.

$$\cdot a_0 = 0.005\text{mm} \quad y = 0.5a_0$$